



## توزیع عناصر گروه پلاتین (PGE) در کرومیتیت‌های سبزوار، شمال شرق ایران

\*سید علی مظہری

دانشگاه پیام نور، گروه علمی زمین‌شناسی، تهران ۱۹۳۹۵-۴۶۹۷، ایران

(دریافت مقاله: ۹۶/۱۲/۹، نسخه نهایی: ۹۷/۴/۶)

چکیده: کرومیتیت‌های پهنه افیولیتی سبزوار به دو گروه غنی از کروم و غنی از آلومینیوم تقسیم می‌شوند. در نمونه‌های غنی از کروم، As, Cr<sub>2</sub>O<sub>3</sub>, S و برخی فلزات سنگین (Cu, Co, Ag, Ni, Zn) بالاتر از نمونه‌های غنی از آلومینیوم است؛ در حالیکه در کرومیتیت‌های غنی از آلومینیوم مقادیر TiO<sub>2</sub>, Al<sub>2</sub>O<sub>3</sub>, SiO<sub>2</sub> و سایر عناصر کمیاب بیشتر است. مقدار عناصر گروه پلاتین (PGE) در نمونه‌های غنی از کروم بیشتر از نوع غنی از آلومینیوم است و با افزایش Cr<sub>2</sub>O<sub>3</sub> بر مقدار PGE افزوده می‌شود. الگوی PGE بهنجار شده نسبت به کندریت در کرومیتیت‌های غنی از کروم ظاهری تفکیک یافته (Pd/Ir = ۰/۲۵) با شبیه منفی و غنی‌شدگی عناصر (Ru, Os) IPGE نسبت به (Pd, Pt, Rh) PPGE (به طور متوسط = ۶/۲۲) نشان می‌دهد؛ در حالیکه کرومیتیت‌های غنی از آلومینیوم الگوی تقریباً یکنواخت (Pd/Ir = ۱/۹) دارند. شیمی عناصر گروه پلاتین در کرومیتیت‌های غنی از کروم نشان از تشکیل آنها در جایگاه‌های کمانی و در نتیجه ذوب‌بخشی درجه بالا (مذاب بونینیتی) دارد. در مقابل، نمونه‌های غنی از آلومینیوم از ذوب‌بخشی درجه پایین (مذاب تولیتی) در یک محیط کششی (پشت‌های میان اقیانوسی یا حوضه‌های پشت کمانی) تشکیل شده‌اند. نتایج به دست آمده از داده‌های PGE در کرومیتیت‌های سبزوار با نتایج برآمده از شیمی بلورهای کرومیت در این نمونه‌ها همخوانی دارد.

واژه‌های کلیدی: کرومیتیت، عناصر گروه پلاتین (PGE)، مذاب بونینیتی، مذاب تولیتی، سبزوار.

بخشی در گوشه و مأگماهای اشباع از گوگرد محسوب می‌شوند. بنابراین، تعیین مقدار و تفسیر تغییرات PGE در کرومیتیت‌ها و سنگ‌های فرامافیک مجموعه‌های افیولیتی می‌تواند نقش مهمی در شناخت روند دگرگونی زمین‌شیمیایی و بازسازی محیط زمین ساختی مأگمایی داشته باشد [۵].

پهنه افیولیتی سبزوار، به عنوان بزرگترین مجموعه افیولیتی ایران، شامل رخمنوهای متعدد از کرومیتیت‌های انبانی است. در پژوهش‌های مختلف انجام شده پیرامون این مجموعه، بررسی زمین‌شیمی این کانسنگ‌ها [۶] و به ویژه شیمی کرومیت [۶, ۷] مورد توجه خاص قرار گرفته است. در این پژوهش‌ها نشان داده شده است که نهشت‌های کرومیتی سبزوار به دو گروه غنی از کروم و غنی از آلومینیوم (فقیر از کروم)

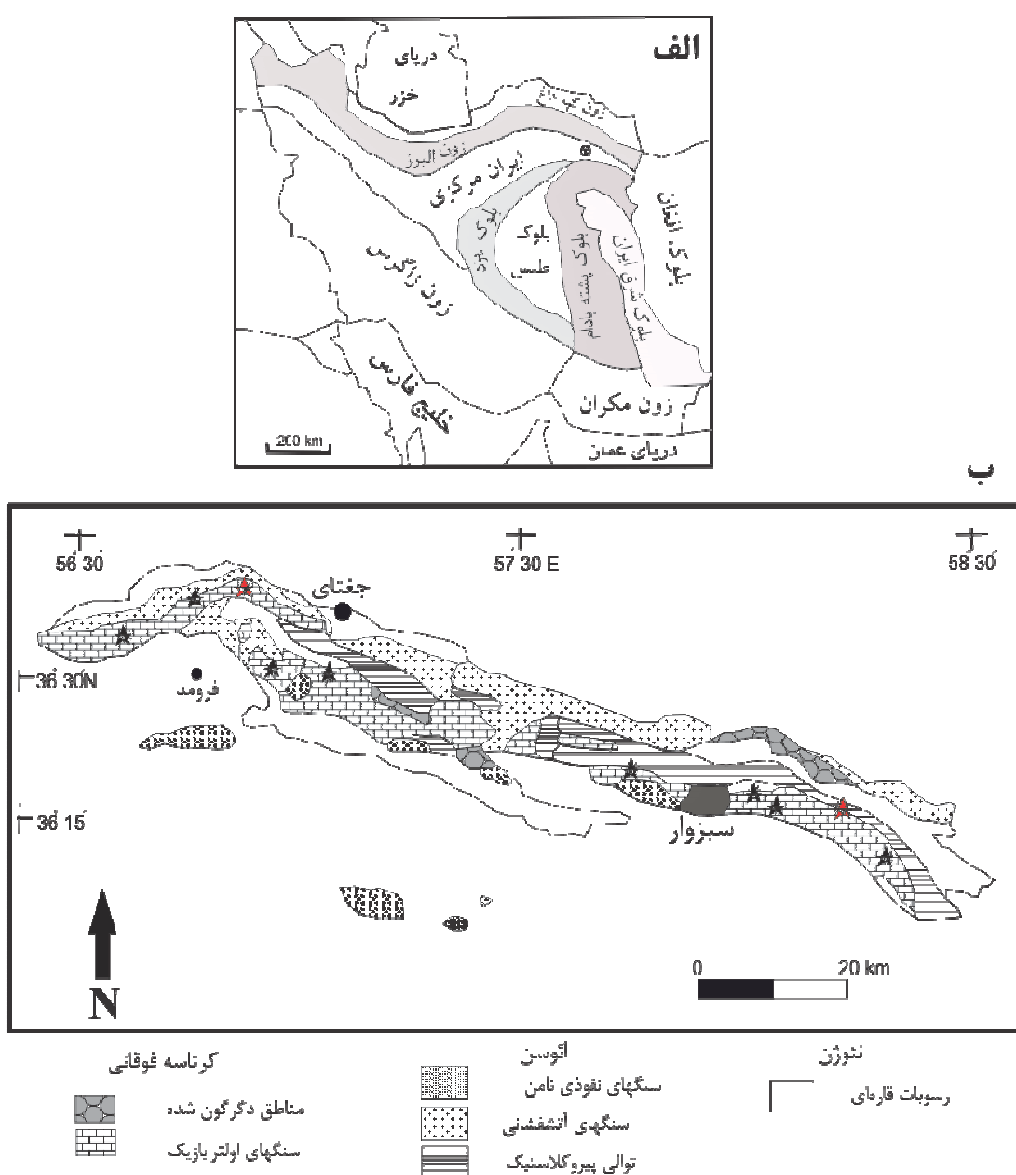
مقدمه

کرومیتیت‌ها در مجموعه‌های افیولیتی اغلب شامل مقادیر قابل توجه عناصر گروه پلاتین (PGE) هستند. این عناصر به عنوان یک شاخص زمین‌شیمیایی ممکن در ردیابی فرایندهای انتقال ماده از گوشه به پوسته در نظر گرفته می‌شوند [۱, ۲]. نظام و الگوی فراوانی عناصر PGE اطلاعات مفیدی در مورد ماهیت سنگ‌شناسی و دگرگونی محل منبع گوشه‌ای ارائه می‌دهد. در سال‌های اخیر پژوهش‌های متعددی پیرامون رفتار زمین‌شیمیایی عناصر PGE در طی ذوب گوشه‌ای و به ویژه جایگاه‌های دربردارنده کرومیت صورت گرفته است (برای مثال [۳, ۴]). عناصر PGE به شدت آهن دوست و گوگرد دوست هستند و شاخص‌های حساسی در فرایندهای تفکیک بلوری، ذوب

پهنه سبزوار شامل کمربند افیولیتی بزرگی است که به صورت نواری با روند تقریبی شمال غربی- جنوب شرقی در کرانه شمال شرقی ایران مرکزی واقع است. این مجموعه افیولیتی شامل همه بخش‌های یک توالی افیولیتی است که البته به طور کامل زمین‌ساخته شده و بین بخش‌های مختلف گستگی ایجاد شده است. افیولیت سبزوار شامل بخش گوشه‌ای سرپائنتینی شده و توالی سنگ‌های رسوبی- شیمیایی، دایک‌های دیابازی و گابروهای لایه‌ای و توده‌ای است که سن کرتاسه پسین تا پالئوسن را به آن نسبت داده‌اند [۶، ۸].

قابل تفکیک هستند و مآگماهای مختلف تولیتی یا بونینیتی می‌توانند در تشکیل آنها نقش داشته باشند [۶، ۷]. بررسی ترکیب و توزیع عناصر PGE در درک بهتر خاستگاه مآگماهای اولیه بسیار مؤثر است. در این پژوهش برای نخستین بار ترکیب PGE کرومیتیت‌های سبزوار و ارتباط پارامترهای مختلف زمین شیمیایی با مقدار PGE بررسی می‌شود.

**جایگاه زمین‌شناسی و سنگ‌نگاری نمونه‌ها**  
منطقه مورد بررسی در پهنه سبزوار (شمال شرق ایران) و در قلمرو پهنه ایران مرکزی واقع است (شکل ۱ الف). بخش عمده



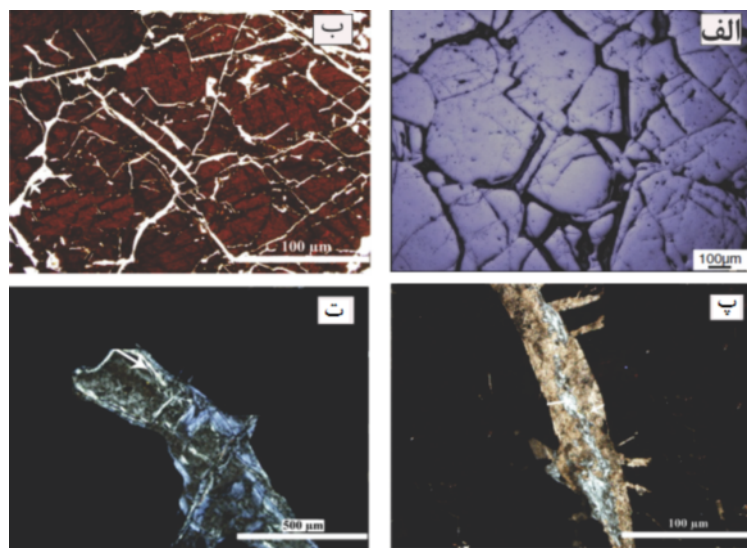
شکل ۱. الف) جایگاه منطقه مورد بررسی در نقشه واحدهای زمین‌شناسی ایران [۹]. منطقه مورد بررسی با علامت مشخص شده است. ب) نقشه ساده زمین‌شناسی پهنه افیولیتی سبزوار [۱۰]. محل برداشت نمونه‌ها با ستاره‌های قرمز محل نمونه برداری کرومیتیت‌های غنی از آلومینیوم و ستاره‌های سیاه نمونه‌های غنی از کروم را نشان می‌دهند.

کرومیتیت‌ها بیشتر به صورت قطعات عدسی یا صفحه‌ای شکل در پریدوتیت‌ها توزیع شده‌اند. ساخت و بافت کرومیتیت‌ها در سبزوار بسیار متنوع و شامل انواع بافت‌های گرهکی، پراکنده یا توده‌ای است. در این پژوهش برای نیل به اهداف مورد نظر، نمونه‌برداری و آزمایش‌های شیمیایی بر کرومیت‌های دارای بافت توده‌ای با بیش از ۹۰٪ حجمی کرومیت انجام گرفت (شکل ۲).

کرومیتیت‌های نمونه‌گیری شده از توده‌های کوچک و بیضی شکل مجزا با عرض بین ۰/۵ تا ۱ متر و طول تا ۱/۵ متر برداشت گردید. این کرومیتیت‌ها اغلب با پریدوتیت‌های اطراف مرز مشخص دارند و از مجموعه کرومیت‌های نیمه شکلدار تا شکلدار متوسط تا درشت دانه (حتی با قطر بزرگ‌تر از یک میلی‌متر) تشکیل شده‌اند (شکل‌های ۲ الف و ب) که توسط رگچه‌های سرپانتین، کلریت و کلسیت قطع می‌شوند (شکل‌های ۲ پ و ت). الیوین در کرومیتیت‌ها دچار دگرسانی گسترده شده و به کریزوتیل، لیزادریت یا کلریت تبدیل شده‌اند (شکل‌های ۲ پ و ت). در برخی نمونه‌ها، دانه‌های مگنتیت در لبه بلورهای پیروکسن و الیوین‌های سرپانتینی شده دیده می‌شوند. در بیشتر کرومیت‌ها بافت کششی [۱۴، ۱۳] دیده می‌شود. حضور بلورهای ریز سرپانتین، کلریت و کلسیت در دانه‌های کرومیت رایج است. البته در برخی از دانه‌های کرومیت میانبارهایی از الیوین دگرسان نشده نیز دیده می‌شود.

افرون براین، سنگ‌های بازی دگرگون شده (شیست آبی، شیست سبز و آمفیبولیت) در اندازه‌های مختلف نیز در مجموعه افیولیتی ظاهر می‌شوند. این سنگ‌ها در کرتاسه پیشین (آلبین) دستخوش بیشترین دگرگونی شده‌اند [۱۰]. علاوه بر سنگ‌های آذرین وابسته به توالی افیولیتی که در پهنه سبزوار ظاهر شده‌اند، بخش قابل ملاحظه‌ای از این ناحیه توسط سنگ‌های ماقمایی غیرافیولیتی پوشیده شده است (شکل ۱ ب). این سنگ‌ها یا به صورت توده‌های نفوذی، نیمه عمیق و روانه‌های خروجی در نوار مجموعه افیولیتی رخنمون یافته‌اند [۸] و یا در خارج از نوار افیولیتی (در نیمه جنوبی پهنه سبزوار) قرار گرفته‌اند [۱۱]. بررسی‌ها نشان می‌دهد که بسیاری از سنگ‌های آتشفسانی ماهیت آدکیتی دارند [۱۲]. توده‌های ماقمایی نیز متنوع بوده و شامل فازهای مختلف فلزی و مافیک هستند [۹].

کرومیتیت‌های انبانی در بخش گوشه‌ای و همراه با پریدوتیت‌های افیولیت سبزوار (که اغلب به شدت سرپانتینی شده‌اند) به وفور دیده می‌شوند. این کرومیت‌ها اغلب همراه با هارزبورزیت‌ها و دونیت‌ها و گاهی لرزولیت‌های بخش گوشه‌ای مجموعه ظاهر می‌شوند. در کرومیتیت‌های سبزوار، همچون سایر کرومیتیت‌های آلبی، ذخایر به طور پراکنده در سنگ‌های میزبان پخش شده‌اند و تمرکز در یک منطقه خاص محدود است؛ به همین علت، عمر بهره برداری از این ذخایر کوتاه است و معادن فعل و متروک فراوان در این ناحیه وجود دارد.



شکل ۲ الف و ب) نمایی کلی از بافت کرومیتیت‌های توده‌ای سبزوار که انباشت بلورهای کرومیت به وسیله شبکه‌ای کانی‌های دگرسان شده قطع می‌شوند در نور بازتابی (الف) و نیکول متقاطع بازتابی (ب). پ) رگچه‌های بینابین کرومیت‌ها که به کلسیت (لبه رگه) و کلریت (مرکز رگه) دگرسان شده‌اند؛ نور PPL. ت) نمونه‌ای دیگر از کانی‌های بینابینی کرومیت‌ها که توسط سرپانتین (لبه رگه) و کلریت (مرکز رگه) پر شده است؛ نور XPL.

مقاطع نازک صیقلی تهیه شده از کرومیتیت‌های سبزوار در گروه علوم زمین Academia Sinica، تایوان با دستگاه ریزپردازندۀ الکترونی JEOL JXA-8900R برای تعیین ترکیب کانی کرومیت در نمونه‌های برگزیده، تجزیه شدند. شرایط اجرایی برای بررسی‌های ریزپردازشی ۱۵kV و ۲۵nA و قطر باریکه ۵-۱ $\mu\text{m}$ ، بسته به اندازه بلور کرومیت، بود. زمان شمارش برای هر عنصر اصلی ۱۰s و برای عناصر کمیاب ۲۰s بود.

### نتایج

#### داده‌های سنگ کل

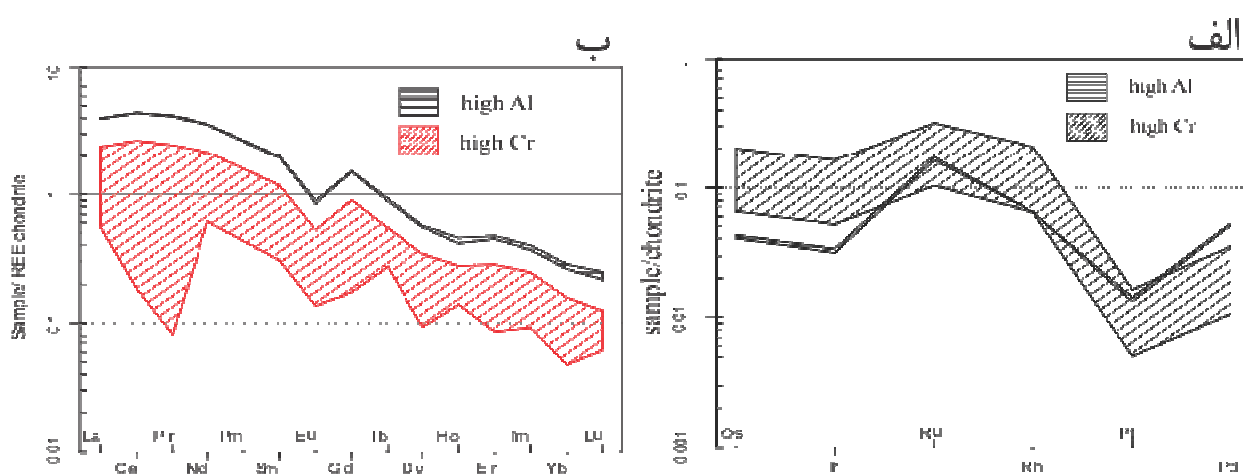
ترکیب شیمیایی نمونه‌های سنگ کل کرومیتیت‌های سبزوار تعییرات قابل توجهی نشان می‌دهد (جدول ۱). این تعییرات هم در اکسیدهای اصلی، و هم در عناصر کمیاب قابل مشاهده است. از نظر اکسیدهای اصلی کرمیتیت‌های غنی از کروم نسبت به نمونه‌های غنی از آلومنیوم دارای مقادیر بالاتری Cr<sub>2</sub>O<sub>3</sub> (به طور میانگین ۴۶/۴۶ نسبت به ۳۸/۷۴ درصد وزنی) و CaO ۲/۲۲ (در برابر ۰/۱۹ درصد وزنی) و تراکم کمتری از Al<sub>2</sub>O<sub>3</sub> (۲۰/۷۸ نسبت به ۱۱/۵۱)، SiO<sub>2</sub> (۲/۷۹ در برابر ۳/۶۸) و TiO<sub>2</sub> (۰/۱۵ در برابر ۰/۳۳ درصد وزنی) هستند. به منظور دسته‌بندی نمونه‌های کرومیتیتی سبزوار، روابط، نمودارها و الگوهای گوناگون در بین عناصر مختلف تجزیه و تحلیل شد. در این بررسی‌ها مشخص گردید که عناصر PGE بهترین الگو را برای گروه‌بندی کرومیتیت‌ها ارائه می‌دهند. با رسم الگوی عناصر PGE بهنجارشده نسبت به کندریت، نمونه‌های مورد بررسی در دو گروه با روندهای متفاوت قرار می‌گیرند (شکل ۳ الف). در کرومیتیت‌های سرشار از کروم، عناصر IPGE = (Ru, Rh) PGE و Pt غنی شده‌اند (۰/۷۲ در آنها Os<sub>N</sub>/Pd<sub>N</sub>) و نسبت بالای (IPGE<sub>N</sub>/PPGE<sub>N</sub>) باز است. در نمونه‌های غنی از آلومنیوم، الگوی PGE به نسبت هموار شکل می‌گیرد که در آن تفکیک قابل ملاحظه‌ای بین عناصر PGE دیده نمی‌شود (Os<sub>N</sub>/Pd<sub>N</sub> = ۰/۸) و غنی‌شدگی IPGE به نسبت گروه اول کمتر است (IPGE<sub>N</sub>/PPGE<sub>N</sub> = ۱/۸).

### روش انجام پژوهش

پس از بررسی‌های میدانی و کتابخانه‌ای، از کرومیتیت‌های ناحیه سبزوار به طور هدفمند نمونه‌برداری شد که در بالا اشاره شد، نمونه‌ها تنها از کرومیتیت‌های توده‌ای برداشت شد. دلیل این امر اهداف مورد نظر در این پژوهش بود، چرا که تجزیه عناصر PGE و کمیاب باید بر سنگ کل انجام می‌شود و بنابراین تنها کرومیتیت‌های توده‌ای که دارای بیشترین کرومیت مُدال هستند، نمونه‌برداری شدند. از ۲۵ نمونه کرومیتیت توده‌ای برداشت شده مقطع نازک صیقلی تهیه گردید و پس از بررسی نتایج سنگنگاری، ۱۰ نمونه برای انجام تجزیه‌های شیمیایی انتخاب شد. نمونه‌های انتخاب شده از سنگ میزان-های مختلف برداشت شدند. موقعیت نمونه‌های برگزیده در شکل ۱ ب نمایش داده شده است. تجزیه‌های شیمیایی برای تعیین مقدار عناصر سنگ کل، در آزمایشگاه Actlabs کانادا انجام گرفت. برای این منظور از روش‌های طیفسنجی فلئورسانس پرتو X (XRF) و طیفسنجی جرمی پلاسمای جفت شده القایی (ICP-MS) به ترتیب برای اندازه‌گیری مقدار اکسیدهای اصلی و عناصر کمیاب استفاده شد. مقدار اکسیدهای اصلی به روش XRF پس از گدازش با تترابورات لیتیم تعیین گردید. دقت آزمایش برای تراکم ۱۰٪ وزنی اکسیدهای اصلی  $\pm 1/5\%$  است. مقدار عناصر کمیاب به روش ICP-MS برپایه فرایند هضم چهار اسید تعیین شد. برای این منظور، نخست ۰/۲۵ گرم از نمونه خاک در محلولی از HF-HNO<sub>3</sub>-HClO<sub>4</sub> گرمادهی شد تا بخار شده و کاملاً خشک شود. سپس باقیمانده آن در HCl حل گردید. دقت نتایج به دست آمده از این روش  $\pm 5\%$  است. از آنجا که مقدار عناصر خاکی نادر (REE) و عناصر PGE در کرومیتیت‌ها بسیار پایین و از مرتبه ppb است، برای تعیین مقدار این عناصر ابتدا فرایند سنجش گداخت سولفید نیکل (آمیختن نمونه با خاکستر سود، بوراکس، سولفور سیلیس و کربنات نیکل یا اکسید نیکل) انجام شد. سپس محلول نمونه با طیف سنج جرمی اندازه‌گیری شد. حد تشخیص این روش ۲ ppb برای Ir، Os، Ru، Pt و Pd و ۵ ppb برای Au، Rh و ۵۰ ppb برای REE است. برای عناصر مختلف REE است.

**جدول ۱** نتایج تجزیه‌ی شیمیایی عناصر اصلی (wt%) و کمیاب (ppm) برای نمونه‌های کرومیتی سبزوار. تراکم عناصر PGE و REE بر حسب SD است. SD = دونیت سرپانتینی شده؛ S = سرپانتینی؛ SH = هارزبورژیت سرپانتینی شده؛ SL = لرزولیت سرپانتینی شده؛ H = هارزبورژیت؛ PL = پلاژیوکلاز لرزولیت؛ Al = کرومیت غنی از آلمینیوم؛ Cr = کرومیت غنی از کروم.

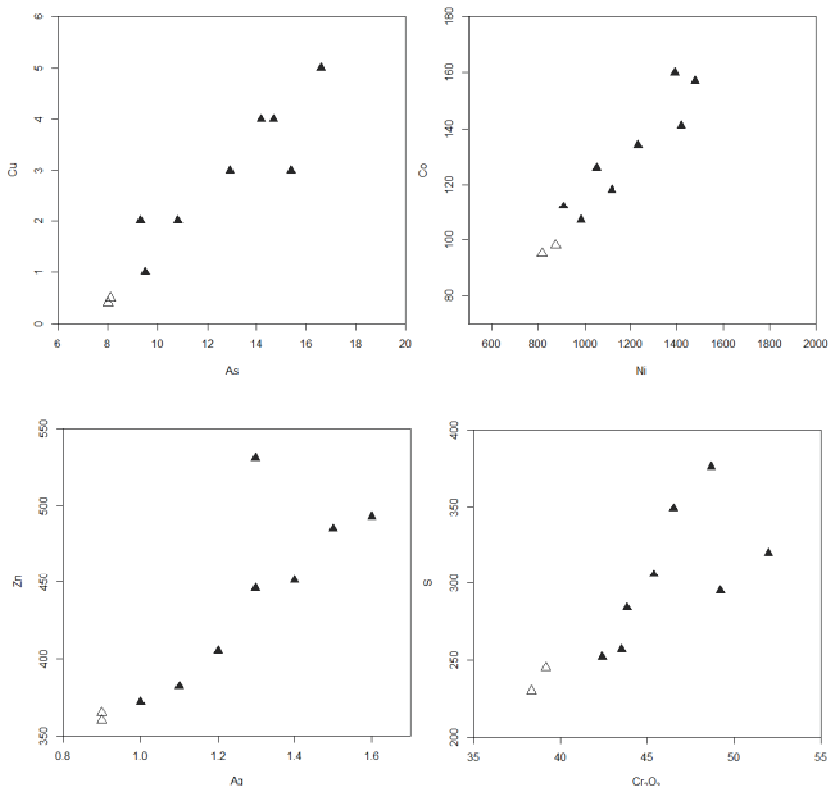
شماره نمونه	CS1	CS8	CS6	CS3	CS7	CS10	CS9	CS4	CS5	CS2
سنگ میزبان	SD	S	SH	SL	S	SD	S	H	PL	SH
شناشه	Al	Al	Cr							
SiO <sub>2</sub>	۳۶۳	۳۲۲	۳۱۸	۲۶۸	۲۴۵	۲۹۴	۳۱۱	۲۶۲	۲۲	۳۱۷
Cr <sub>2</sub> O <sub>3</sub>	۲۸۳۲	۲۹۱۵	۲۴۳۷	۲۳۵۶	۴۳۸۸	۴۵۴۱	۴۶۵۴	۴۸۷۰	۴۹۲۳	۵۱۹۹
Al <sub>2</sub> O <sub>3</sub>	۲۰.۱۶	۲۱.۴۰	۱۷.۶۴	۱۶.۰۶	۱۴.۲۲	۱۱.۹۷	۸.۱۳	۸.۱۱	۸.۰۵	۷.۸۹
Fe <sub>2</sub> O <sub>3</sub> t	۱۴.۵۲	۱۴.۱۸	۱۴.۲۶	۱۵.۰۵	۱۵.۶۴	۱۳.۸۳	۱۶.۱۰	۱۳.۱۱	۱۵.۷۷	۱۴.۵۹
MnO	.۱۹	.۱۸	.۱۸	.۲۰	.۲۱	.۱۲	.۰۲۳	.۰۲۵	.۰۲۸	.۰۲۷
MgO	۱۷.۹۱	۱۷.۶۳	۱۷.۴۵	۱۶.۵۷	۱۸.۲۲	۱۷.۷۰	۱۸.۵۹	۱۶.۸۹	۱۹.۳۶	۱۸.۲۱
CaO	.۰۲	.۰۱۷	.۱۷۳	.۲۱۸	.۰۸۶	.۳۴۸	.۲۷۵	.۵۳۰	.۰۲۴	.۱۱۸
Na <sub>2</sub> O	.۰۰۳	.۰۰۲	.۰۰۲	.۰۰۳	.۰۰۲	.۰۰۲	.۰۰۳	.۰۰۲	.۰۰۲	.۰۰۲
K <sub>2</sub> O	.۰۰۲	.۰۰۱	.۰۰۲	.۰۰۱	.۰۰۱	.۰۰۱	.۰۰۲	.۰۰۱	<.۰۰۱	<.۰۰۱
TiO <sub>2</sub>	.۰۳	.۰۲۶	.۰۲۵	.۰۲۳	.۰۱۹	.۰۱۵	.۰۰۹	.۰۰۹	.۰۰۸	.۰۰۸
P2O <sub>5</sub>	.۰۶	.۰۶	.۰۵	.۰۵	.۰۴	.۰۴	.۰۳	.۰۳	.۰۲	.۰۲
افت گرمایش	۳۲۷	۳۲۵	۲۸۴	۲۶۰	۳۱۱	۴۶۴	۳۶۸	۴۲۶	۴۴۳	۲۹۲
As	.۱	.۱	.۹۵	.۹۳	.۱۰۸	.۱۲۹	.۱۰۴	.۱۴۲	.۱۴۷	.۱۶۶
Br	۱۱.۸	۱۲.۲	۱۲.۵	۱۰.۴	۱۲.۰	۱۴.۸	۱۱.۳	۷.۷	۱۲.۴	.۸۶
Sc	.۷۵	.۷۸	.۸۴	.۹۰	.۱۰۵	.۵۷	.۶۳	.۸۱	.۷۵	.۶۲
Sb	<.۰۲	<.۰۲	.۰۲	.۰۳	.۰۳	.۰۴	.۰۴	.۰۳	.۰۵	.۰۶
Cd	.۰۶	.۰۶	.۰۵	.۰۵	.۰۶	.۰۵	.۰۶	.۰۵	.۰۶	.۰۶
Cu	<۱	<۱	۱	۲	۲	۳	۳	۴	۴	۵
Ni	۸۱۶	۸۷۵	۹.۰۱	۹۸۳	۱۰.۰۱	۱۱۱۸	۱۲۲۴	۱۴۸۰	۱۳۹۲	۱۴۲۰
S	۲۲۰	۲۴۵	۲۵۲	۲۵۷	۲۸۴	۳۶	۳۴۹	۳۷۶	۲۹۵	۳۲۰
Ag	.۰۹	.۰۹	.۱۰	.۱۱	.۱۲	.۱۲	.۱۳	.۱۴	.۱۶	.۱۵
Co	.۹۵	.۹۸	.۱۱۲	.۱۰۷	.۱۲۶	.۱۱۸	.۱۳۴	.۱۵۷	.۱۶۰	.۱۴۱
Zn	۳۶۰	۳۲۵	۳۷۲	۳۸۲	۴۴۶	۴۵	۵۲۱	۴۵۱	۴۹۳	۴۸۵
Ga	۲۷۸۳	۲۷۷۷	۲۲۸	۲۰.۰۲	۱۸.۹	۱۵.۵	۱۲	۱۱.۴	.۹.۷	.۸.۱
Ge	<.۰۵	<.۰۵	<.۰۵	<.۰۵	<.۰۵	<.۰۵	<.۰۵	<.۰۵	<.۰۵	<.۰۵
Y	۱.۷۵	۱.۲۷	۱.۰۸	.۹۹۳	.۷	.۰۴	.۰۲۲	.۰۲۳	.۰۱۱	.۰۰۸
Zr	.۶	.۶	.۵	.۵	.۴	.۳	.۳	.۲	.۱	.۱
Nb	۱.۲۵	۱.۲۸	.۹۰۵	.۹۸	.۸۱	.۰۷۶	.۰۷۰	.۰۶۶	.۰۶۱	.۰۵۹
Hf	.۰۱۲	.۰۱۲	.۰۱۱	.۰۱۱	.۰۱۰	.۰۰۹	.۰۰۹	.۰۰۷	.۰۰۵	<.۰۰۵
Ta	.۰۰۳	.۰۰۳	.۰۰۵	.۰۰۸	.۰۱۱	.۰۱۳	.۰۱۵	.۰۱۸	.۰۲۰	.۰۲۱
W	<.۰۵	<.۰۵	<.۰۵	<.۰۵	<.۰۵	<.۰۵	<.۰۵	<.۰۵	<.۰۵	<.۰۵
Tl	<.۰۵	<.۰۵	<.۰۵	<.۰۵	<.۰۵	<.۰۵	<.۰۵	<.۰۵	<.۰۵	<.۰۵
Pb	.۵۸	.۵۷	.۶۲	.۷۵	.۵۲	.۸۳	.۶۵	.۸۰	.۷۷	.۶۴
Th	.۰۰۸	.۰۰۹	.۰۱۱	.۰۱۲	.۰۰۶	.۰۰۶	<.۰۰۵	.۰۰۵	<.۰۰۵	<.۰۰۵
U	.۰۰۳	.۰۰۳	.۰۰۲	.۰۰۳	.۰۰۳	.۰۰۴	.۰۰۲	.۰۰۳	.۰۰۲	.۰۰۲
V	.۹۴۴	.۸۶۵	.۷۵	.۹۶۵	.۵۱۷	.۶۰	.۷۵۴	.۳۶۲	.۱۰۶	.۸۵۴
Sr	.۹	۱۱	.۴۳	.۵۶	.۱۵	.۱۰۲	.۸۵	.۱۹۶	.۶	.۱۹
Ba	۱۸۴	۱۷۶	۲۲۴	۲.۰۸	.۱۵۸	.۲۹۱	.۲۵	.۳۷۳	.۱۳۵	.۱۲۲
La	۱۲۲۰	۱۲۳۵	.۷۴۰	.۶۳	.۴۱۰	.۳۷۰	.۲۲۰	.۲۰۰	.۱۷۳	.۱۹۰
Ce	۳۵۵۰	۳۵۷۰	۲۱۴۰	۱۸۲۰	۱۲۰۰	۱۱۱۰	.۶۵۰	.۶۳۰	.۱۵۰	.۱۷۰
Pr	.۵۰	.۵۱	.۳۰	.۲۵	.۱۶	.۱۰	.۸۰	.۷۵	.۱	.۱
Nd	۲۱۳۰	۲۱۵۰	۱۲۹۰	۱۰۰	.۷۱۰	.۶۰	.۳۷۰	.۳۷۰	<.۰۵	<.۰۵
Sm	۳۸۰	۳۹۰	.۲۲۰	.۱۹۰	.۱۲۰	.۱۱۰	.۷۰	.۶۰	<.۱	<.۱
Eu	.۶۳	.۶۶	.۳۹	.۳۳	.۲۱	.۱۹	.۱۱	.۱۰	<.۵	<.۵
Gd	۳۹۰	۳۹۵	.۲۲۵	.۲۰۰	.۱۳۰	.۱۲۰	.۷۰	.۶۵	.۴۵	.۵۰
Tb	.۴۲	.۴۴	.۲۶	.۲۲	.۱۴	.۱۳	<.۱	<.۱	<.۱	<.۱
Dy	۱۸۰	۱۸۵	۱۱۱	.۹۴	.۶۱	.۵۵	.۳۳	.۳۰	<.۱	<.۱
Ho	.۳۰	.۳۳	.۲۰	.۱۷	.۱۱	.۱۰	<.۱	<.۱	<.۱	<.۱
Er	.۹۵	۱۰۰	.۶۰	.۵۱	.۳۳	.۳۰	.۱۸	<.۱	<.۱	<.۱
Tm	.۱۲	.۱۳	.۸	.۷	.۵	.۵	.۳	<.۵	<.۵	<.۵
Yb	.۶۰	.۵۵	.۳۳	.۲۸	.۱۸	.۱۵	.۱۰	.۱۰	<.۱	<.۱
Lu	.۸	.۷	.۴	.۳	.۲	.۲	<.۲	<.۲	<.۲	<.۲
Os	.۲۱	.۲۰	.۲۲	.۲۹	.۴۹	.۵۹	.۲۱	.۲۹	.۹۱	.۹۹
Ir	.۱۶	.۱۵	.۲۵	.۳۱	.۳۹	.۴۷	.۵۶	.۵۲	.۷۲	.۷۸
Ru	۱۱۷	۱۱۱	.۷۰	.۸۷	.۱۰۹	.۱۳۱	.۱۵۷	.۱۷۵	.۲۰۱	.۲۱۹
Rh	.۹	.۹	.۹	.۱۱	.۱۶	.۱۷	.۲۱	.۲۳	.۲۶	.۲۹
Pt	.۱۴	.۱۳	.۵	.۶	.۸	.۹	.۱۱	.۱۲	.۱۴	.۱۶
Pd	.۳۰	.۲۹	.۶	.۸	.۱۰	.۱۲	.۱۴	.۱۶	.۱۸	.۲۰
ΣPGE	.۲۷	.۱۷۹	.۱۴۷	.۱۸۲	.۲۲۹	.۲۷۵	.۳۳۰	.۳۶۷	.۴۲۲	.۴۶۱
Pd/Ir	.۱۸۸	.۱۹۳	.۰۲۴	.۰۲۶	.۰۲۶	.۰۲۶	.۰۲۵	.۰۲۶	.۰۲۵	.۰۲۶
IPGE	.۱۵۴	.۱۴۶	.۱۲۷	.۱۵۷	.۱۹۷	.۲۲۷	.۲۸۴	.۳۱۶	.۳۶۴	.۳۹۶
PPGE	.۵۳	.۵۱	.۲۰	.۲۵	.۲۲	.۳۸	.۴۶	.۵۱	.۵۱	.۶۵
IPGE/PPGE	.۲۹۱	.۲۸۶	.۶۳۵	.۶۲۸	.۶۱۶	.۶۱۴	.۶۱۷	.۶۲۰	.۶۲۸	.۶۰۹
Ru/Pt	.۸۳۶	.۸۳۴	.۱۴	.۱۴۵	.۱۴۳	.۱۴۵۶	.۱۴۲۷	.۱۴۰۸	.۱۴۳۶	.۱۳۶۹



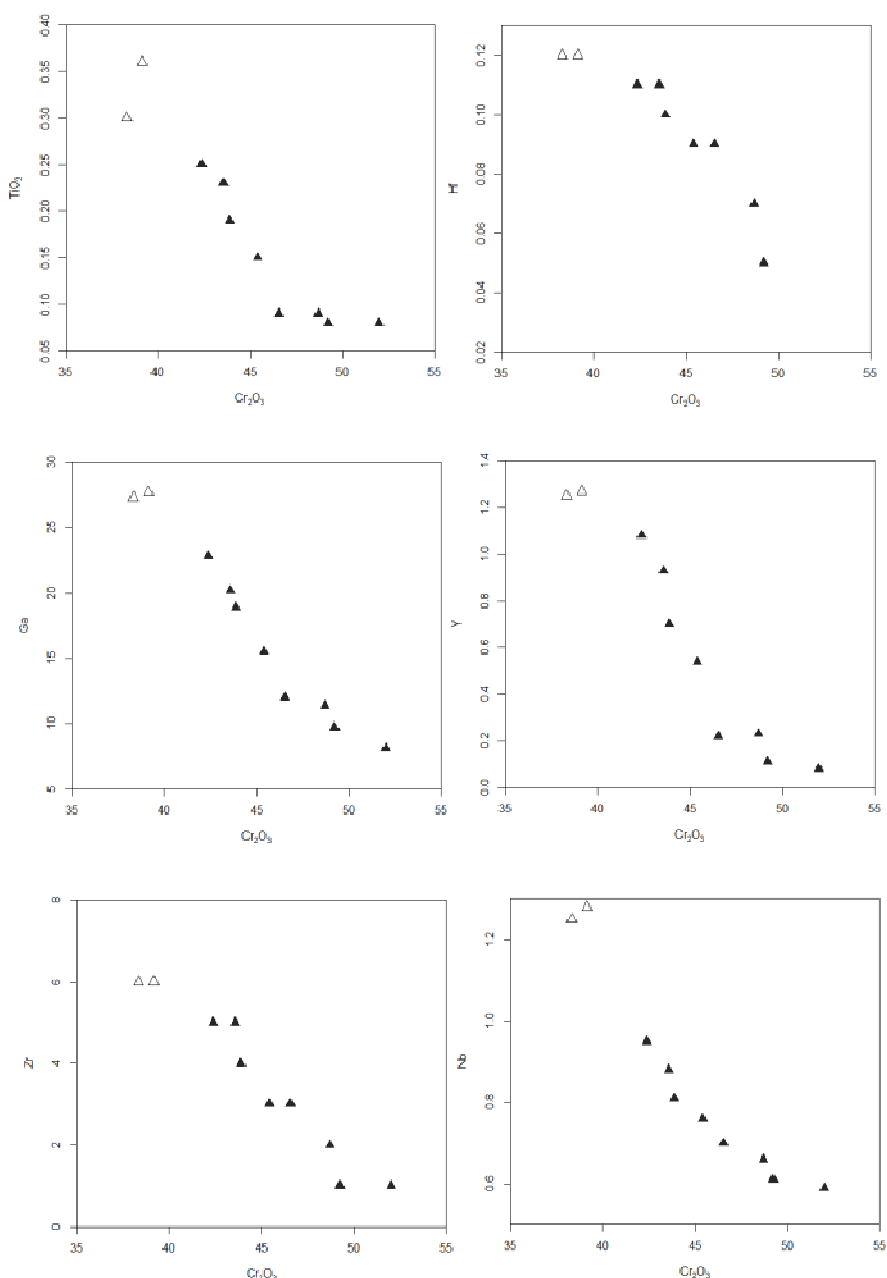
شکل ۳ (الف) الگوی PGE و (الف) REE بهنجارشده نسبت به کندریت [۱۵] برای کرومیت‌های سبزوار. تفاوت دو گروه کرومیت‌های غنی از آلمینیوم و غنی از کروم کاملاً نمایان است.

چون Ti, P, Ga, Zr, Y, Nb, Hf, Zr, Th و غنی‌شدگی نشان می‌دهند (شکل ۵). افزون بر این، فراوانی عناصر خاکی نادر (REE) در کرومیت‌های غنی از آلمینیوم افزایش چشمگیری نسبت به نمونه‌های غنی از کروم نشان می‌دهد (شکل ۳ ب).

ترکیب سایر عناصر کمیاب نیز در کرومیت‌های غنی از آلمینیوم و غنی از کروم متفاوت است. در کرومیت‌های غنی از کروم، مقدار S, As و برخی فلزات سنگین (Cu, Ni, Ag, Co) بالاتر است (شکل ۴)؛ در حالیکه کرومیت‌های غنی از آلمینیوم در بسیاری از عناصر با شدت میدان بالا (HFSE)



شکل ۴ نمودارهای دوتایی تفکیک ترکیب کرومیت‌های غنی از آلمینیوم (▲) و غنی از کروم (Δ) در کرومیت‌های سبزوار. غلظت  $\text{Cr}_2\text{O}_3$  به درصد وزنی و سایر عناصر به ppm است.



شکل ۵ نمودارهای دوتابی  $\text{Cr}_2\text{O}_3$  در برابر عناصر کمیاب برای کرومیتیت‌های سبزوار. علامه به کار رفته مانند شکل ۴ است.

$\text{Mg}/\text{Mg}$ )، کانی‌های کرومیت سبزوار نیز در دو گروه سرشار از آلومینیوم و سرشار از کروم قرار می‌گیرند (شکل ۶ الف). ترکیب کرومیت‌ها می‌تواند کمک بسیاری به درک دگرگونی‌های ماقمایی و محیط زمین‌ساختی ماقمایی نماید [۱۳]. باور این است که ترکیب کرومیت شاخص نوع ماقماست، به طوریکه کرومیت‌های غنی از کروم از ترکیبات بونینیتی و کرومیت‌های غنی از آلومینیوم از ماقمای تولئیتی شبیه بازلت‌های پشت‌های میان اقیانوسی (MORB) نتیجه می‌شوند.

#### شیمی کانی کرومیت

تجزیه به روش ریزپردازش الکترونی (EPMA) بر ۵۳ نقطه در ۱۰ نمونه کرومیتیتی سبزوار انجام گرفت. در جدول ۲ میانگین داده‌ها برای هر نمونه آورده شده است. در همخوانی با ترکیب سنگ کل، بلورهای کرومیت در نمونه‌های غنی از کروم دارای  $\text{Cr}/(\text{Cr}+\text{Al})$  بالاتری ( $0.83 - 0.53$ ) نسبت به کرومیت‌های غنی از آلومینیوم ( $0.43 - 0.44$ ) هستند. با توجه به مقدار  $\text{Cr}\#$  و  $\text{Mg}\#$  (نسبت اتمی  $\text{Mg}/\text{Fe}$ ) نتیجه این است که

در نظر گرفته می‌شود [۱۵، ۱۶]. غلظت Al مذابی که کرومیت از آن متبلور شده است را می‌توان از رابطه زیر محاسبه کرد:

$$(Al_2O_3 \text{ wt\%})_{\text{spinel}} = 0.035 (Al_2O_3 \text{ wt\%})_{\text{melt}}^{2.42}$$

نسبت FeO/MgO مذابی که کرومیت از آن متبلور شده نیز با استفاده از رابطه زیر محاسبه می‌شود [۱۷]:

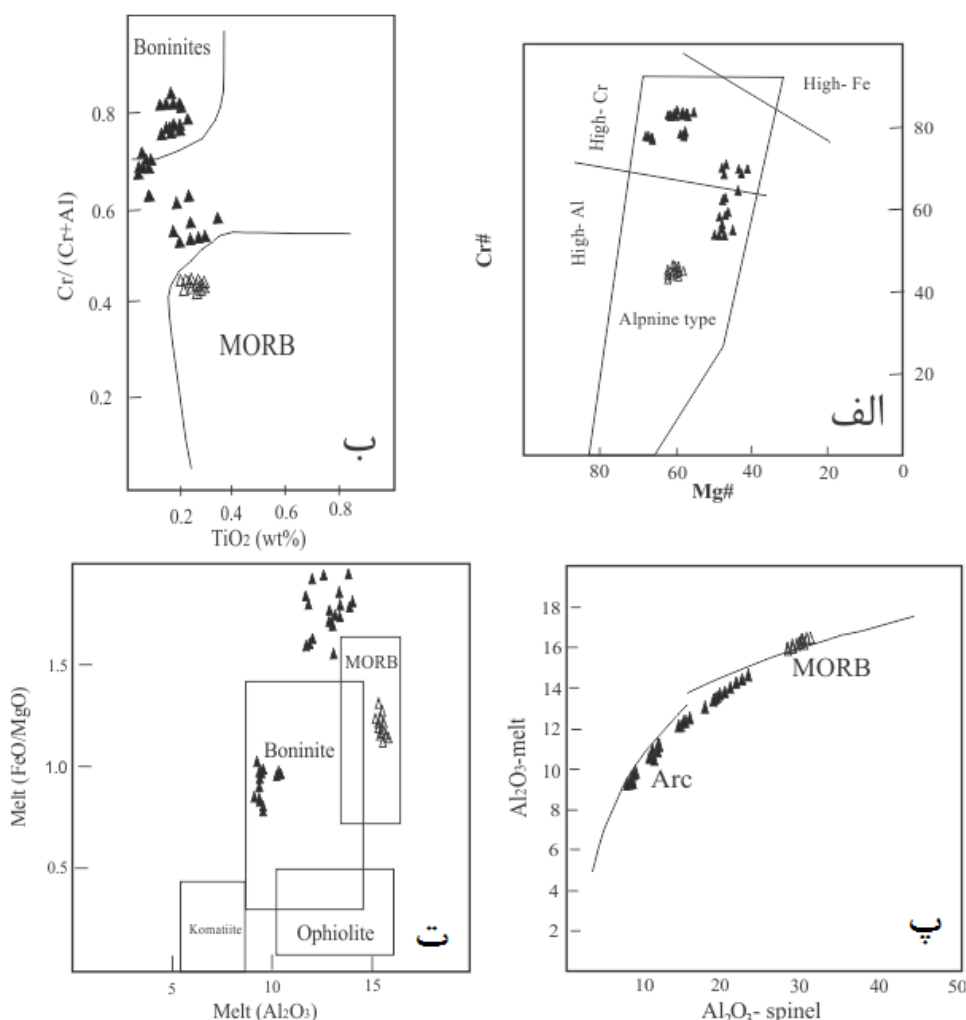
$$\ln (FeO/MgO)_{\text{spinel}} = 0.47 - 1.07 Al^{\#}_{\text{spinel}} + 0.64 Fe^{3+ \#}_{\text{spinel}} + \ln (FeO/MgO)_{\text{melt}}$$

[۱۴]. بر این اساس، بیشتر کرومیت‌های غنی از کروم در کرومیت‌های سبزوار از مگماهای بونینیتی به دست آمدند، در حالیکه نمونه‌های غنی از آلومینیوم شبیه مگماهای MORB هستند (شکل ۶ ب).

از ترکیب کرومیت برای محاسبه ترکیب شیمیایی مذاب‌هایی که از آن متبلور شده است استفاده می‌شود و به همین علت کرومیت به عنوان یک ردیاب مهم برای تعیین خاستگاه

جدول ۲ میانگین ترکیب کروم (wt%) در کرومیت‌های افیولیت سبزوار بر اساس داده‌های ریزپردازش الکترونی. n = تعداد تجزیه‌ها در هر نمونه.

شناخته نمونه	CS1	CS8	CS6	CS3	CS7	CS10	CS9	CS4	CS5	CS2
n	۶	۸	۴	۵	۴	۵	۴	۶	۵	۵
SiO <sub>2</sub>	۰	۰	۰	۰	۰	۰	۰	۰	۰	۰
TiO <sub>2</sub>	۰,۲۲	۰,۲۶	۰,۲۴	۰,۲۳	۰,۱۸	۰,۰۶	۰,۱۵	۰,۱۷	۰,۱۷	۰,۱۶۷
Al <sub>2</sub> O <sub>3</sub>	۲۹,۲۰	۲۹,۹۴	۲۱,۷۳	۲۱,۱۸	۱۸,۸۳	۱۵,۳۵	۱۱,۸۱	۱۱,۰۵	۸,۶۶	۸,۶۷
Cr <sub>2</sub> O <sub>3</sub>	۳۵,۷۹	۳۵,۱۰	۳۷,۰۷	۴۲,۰۵	۴۶,۷۸	۵۰,۹۶	۵۸,۴۷	۵۷,۰۶	۶۱,۶۲	۶۱,۱۶
NiO	۰,۱۷	۰,۱۷	۰,۲۰	۰,۲۳	۰,۲۵	۰,۲۸	۰,۲۹	۰,۲۷	۰,۳۴	۰,۳۸
FeO	۱۷,۹۲	۱۷,۶۰	۲۵,۹۸	۲۲,۳۶	۲۲,۲۳	۲۲,۶۶	۱۳,۶۷	۱۷,۲۹	۱۵,۸۸	۱۷,۰۸
MnO	۰,۲۵	۰,۲۵	۰,۴۴	۰,۳۸	۰,۳۶	۰,۳۲	۰,۲۷	۰,۳۰	۰,۲۴	۰,۲۷
MgO	۱۵,۳۲	۱۵,۵۰	۱۳,۵۵	۱۲,۰۳	۱۱,۰۰	۱۰,۳۱	۱۵,۶۱	۱۳,۴۵	۱۳,۶۶	۱۲,۷۲
CaO	۰,۰۱	۰	۰,۰۵	۰,۰۱	۰,۰۱	۰	۰,۰۱	۰	۰	۰
Na <sub>2</sub> O	۰,۰۱	۰,۰۱	۰,۰۱	۰,۰۲	۰,۰۱	۰	۰	۰,۰۱	۰	۰,۰۱
K <sub>2</sub> O	۰	۰	۰	۰	۰	۰	۰	۰	۰	۰
مجموع	۹۸,۸۸	۹۸,۸۵	۹۹,۲۶	۹۹,۵۰	۹۹,۶۴	۹۹,۹۵	۱۰۰,۲۷	۹۹,۶۰	۱۰۰,۵۸	۱۰۰,۴۵
کاتیون‌ها (فرمول ساختاری بر پایه ۴ اکسیژن)										
Si	۰	۰	۰	۰	۰	۰	۰	۰	۰	۰
Ti	۰	۰,۰۱	۰,۰۱	۰,۰۱	۰	۰	۰	۰	۰	۰
Al	۱,۰۲	۱,۰۴	۰,۷۹	۰,۷۸	۰,۷۱	۰,۵۸	۰,۴۴	۰,۴۲	۰,۳۳	۰,۳۳
Cr	۰,۸۴	۰,۸۲	۰,۹۰	۱,۰۳	۱,۱۷	۱,۳۰	۱,۴۵	۱,۴۵	۱,۵۷	۱,۵۷
Ni	۰	۰	۰	۰,۰۱	۰,۰۱	۰,۰۱	۰,۰۱	۰,۰۱	۰,۰۱	۰,۰۱
Mn	۰,۰۱	۰,۰۱	۰,۰۱	۰,۰۱	۰,۰۱	۰,۰۱	۰,۰۱	۰,۰۱	۰,۰۱	۰,۰۱
Mg	۰,۶۸	۰,۶۸	۰,۶۲	۰,۵۶	۰,۵۱	۰,۵۰	۰,۷۳	۰,۶۵	۰,۶۶	۰,۶۲
Fe <sub>3</sub>	۰,۱۳	۰,۱۲	۰,۳۰	۰,۱۷	۰,۱۲	۰,۱۲	۰,۱۰	۰,۱۲	۰,۱۰	۰,۰۹
Fe <sub>2</sub>	۰,۳۲	۰,۳۱	۰,۳۷	۰,۴۳	۰,۴۷	۰,۵۰	۰,۲۶	۰,۳۵	۰,۳۳	۰,۳۸
Mg#per	۶۰,۳۷	۶۱,۱۰	۴۸,۱۹	۴۷,۸۷	۴۶,۸۷	۴۴,۸۰	۶۷,۰۵	۵۸,۱۲	۶۰,۵۴	۵۷,۰۵
Cr#per	۴۵,۱۳	۴۴,۲۰	۵۳,۳۵	۵۷,۰۶	۶۲,۵۱	۶۹,۰۲	۷۶,۸۶	۷۷,۶۰	۸۲,۶۸	۸۲,۵۶
Al <sub>2</sub> O <sub>3</sub> مذاب	۱۶,۱۱	۱۶,۲۸	۱۴,۲۶	۱۴,۱۱	۱۳,۴۳	۱۲,۳۵	۱۱,۰۸	۱۰,۷۸	۹,۷۵	۹,۷۵
(FeO/MgO) مذاب	۱,۲۲	۱,۲۰	۱,۶۹	۱,۷۵	۱,۷۸	۱,۸۱	۰,۶۷	۰,۹۷	۰,۸۴	۰,۹۷



شکل ۶ نمودارهای تفکیک نوع ماقمای اولیه برای کرومیتیت‌های سبزوار بر اساس ترکیب بلورهای کرومیت. (الف) نمودار  $\# \text{Mg}$  نسبت به  $\text{Cr}^{\#}$  [۱۸]. (ب) نمودار  $\text{TiO}_2$  نسبت به  $\text{Cr}^{\#}$  [۱۷]. (پ) نمودار  $\text{Al}_2\text{O}_3$  محاسبه شده برای مذاب نسبت به  $\text{Al}_2\text{O}_3$ -مذاب نسبت به  $\text{Al}_2\text{O}_3$ -سپنل [۱۹]. (ت) نمودار اکسید آلومینیوم نسبت به  $\text{FeO}/\text{MgO}$  محاسبه شده برای مذاب [۱۷]. علامت همانند شکل ۴ است.

بیشتر کرومیت‌های غنی از کروم ماهیت بونینیتی داشته‌اند در حالیکه نمونه‌های غنی از آلومینیوم در گستره کرومیت‌های برآمده از MORB قرار می‌گیرند (شکل ۶ ت).

#### بحث

داده‌های EPMA بر روی بلورهای کرومیت سبزوار در این پژوهش، بیانگر از وجود دو نوع ماقمای مختلف در تشکیل آنهاست. این نتیجه همسو با پژوهش‌های پیشین است که بر وجود کرومیت‌های غنی از کروم و غنی از آلومینیوم در این ناحیه اشاره کرده‌اند [۶، ۷]. داده‌های شیمیایی سنگ کل به ویژه عناصر PGE می‌تواند اطلاعات تکمیلی در مورد ماهیت و

در این معادله،  $\text{Al}^{\#}$  و  $\text{Fe}^{3+}$  به ترتیب نسبت‌های اتمی  $\text{Al}/(\text{Al} + \text{Fe}^{3+} + \text{Cr})$  و  $\text{Fe}^{3+}/(\text{Al} + \text{Fe}^{3+} + \text{Cr})$  کارگیری این روابط مشخص می‌شود که کرومیت‌های غنی از آلومینیوم سبزوار از یک ماقما با  $16/3 - 16/1$  درصد وزنی  $\text{Al}_2\text{O}_3$  متبلور شده در حالیکه مقدار  $\text{Al}_2\text{O}_3$  در ماقمای مادر کرومیت‌های غنی از کروم کمتر از ۱۵ درصد وزنی (۱۴/۳ - ۹/۸) بوده است. این مقادیر  $\text{Al}_2\text{O}_3$  نشان از ماهیت متفاوت ماقمای اولیه کرومیت‌های غنی از کروم (رونده مشابه ماقمای کمانی) و غنی از آلومینیوم (مشابه MORB) دارد (شکل ۶ پ). در نمودار تمایز کننده بر پایه مقدار  $\text{Al}_2\text{O}_3$  و  $\text{FeO}/\text{MgO}$  محاسبه شده در مذاب، ماقمای تشکیل دهنده

بالایی (مذاب‌های MORB) به شکل سازگار عمل می‌کنند [۱۶]. غنی‌شدنگی Ru در کرومیتیت‌های غنی از آلمینیوم نیز مانند همتای غنی از کروم آنها دیده می‌شود (شکل ۳ الف). ناهنجاری مثبت Ru در الگوهای PGE به وجود لاریت در کرومیتیت‌ها نسبت داده می‌شود [۱۷]. مذاب‌های تولید شده شبه MORB که از ذوب درجه پایین تشکیل شده‌اند، فراوانی PGE پایین دارند، در حالیکه در مذاب‌های بونینیتی تشکیل شده بوسیله ذوب آبدار مقدار PGE به نسبت بالاتر است [۲۴]. در نمونه‌های مورد بررسی، فراوانی PGE در کرومیتیت‌های غنی از کروم بیشتر از انواع غنی از آلمینیوم است (شکل ۳ ب). افزون بر این، مقدار پایین عناصر REE و HFSE در کرومیتیت‌های غنی از کروم در ناحیه سبزوار (شکل ۵) مشابه HFSE افیولیتیت‌های SSZ است [۲۰]؛ در حالیکه مقادیر بالاتر در نمونه‌های کرومیتیتی با Al بالا مشابه پریدوتیت‌های پشته میان اقیانوسی است [۲۵].

تفکیک ماقمایی، ذوب‌بخشی و فرایندهای دگرسانی گرمابی سه عاملی هستند که مقدار PGE در سنگ‌های آذرین را کنترل می‌کنند [۲۵]. دو عامل نخست (تفکیک ماقمایی و ذوب‌بخشی) مؤثرتر هستند در حالیکه فرایندهای دگرسانی تنها اثر محدودی بر بازتحرک Au و تا حد کمتری Pt و Pd دارد [۱۹]. عناصر PGE براساس مقدار سازگاری طی ذوب‌بخشی به دو گروه تقسیم می‌شوند: گروه نخست عناصر IPGE (شامل Os, Ir, Rh و Pd) که دارای بالاترین نقاط ذوب هستند و گروه دوم (شامل Pt, Cr و PGE) که نقطه ذوب پایین‌تر دارند [۲۵]. عناصر PGE در سنگ‌های گوشته بوسیله ترکیبی از فرایندهای ذوب‌بخشی و واکنش مذاب، سنگ در گوشته ایجاد می‌شوند [۵]. گستره تقریباً ثابت تغییرات نسبت Pd/Ir در کرومیتیت‌های سبزوار ۱/۹ در نمونه‌های غنی از آلمینیوم و ۰/۲۶ در نمونه‌های غنی از کروم نشان می‌دهد که ذوب‌بخشی نقش بیشتری نسبت به تفکیک ماقمایی در تشکیل آنها داشته است [۱]. معادلات مختلفی برای ارتباط بین درجه ذوب‌بخشی و Cr# در کرومیتیت‌ها ارائه شده است. به عنوان مثال می‌توان به معادله زیر اشاره کرد [۲۶]:

$$F\% = 10 \times \ln(Cr_{spl}^{\#}) + 25.8$$

چگونگی شکل گیری ماقمایی مختلف دخیل در فرایندهای زمین ساختی ماقمایی منطقه ارائه دهد. میانگین نسبت‌های Ru/Pt, Pd/Ir و IPGE/PPGE در ۶۲۲، ۱۴۲۰ و ۰/۲۵ ترتیب به ترتیب است. الگوی عناصر PGE بهنجارشده نسبت به کندریت در کرومیتیت‌های غنی از کروم (شکل ۳ الف) شبیه سایر کرومیتیت‌های انبانی در افیولیت‌های بالای مناطق فروزانش (SSZ) است [۲۰]. در این کرومیتیت‌ها، غنی‌شدنگی IPGE/PPGE نمایان است که موجب شیب منفی در الگوها می‌شود [۱۵]. غنی‌شدنگی عناصر IPGE به حضور میانبار کانی‌های ریز دربردارنده این عناصر در کرومیتیت‌ها نسبت داده می‌شود [۱۵]. در جایگاه‌های SSZ که درجه ذوب بخشی بالاتر از پشت‌های میان اقیانوسی است (مذاب‌های بونینیتی)، عناصر PGE به ویژه PPGE طی ذوب‌بخشی رفتار ناسازگار دارند. این امر سبب می‌شود که کرومیتیت‌های انبانی برآمده از مناطق SSZ به شدت تهی از PGE شده و بنابراین غنی از کروم و IPGE شوند [۵]. البته در الگوی PGE این کرومیتیت‌ها ناهنجاری منفی شدید Pt و مثبت Ru بارز است (شکل ۳ الف). پلاتینیوم نسبت به سایر عناصر PGE ناسازگارتر عمل می‌کند و عموماً در آلیاژ Pt-Fe جدایش یافته متتمرکز می‌شود؛ بنابراین یک ناهنجاری منفی Pt در کرومیتیت‌هایی که در مراحل اولیه تشکیل می‌شوند، بوجود می‌آید [۲۱]. در کرومیتیت‌های غنی از کروم سبزوار با افزایش مقدار کروم، مقدار افزایش می‌یابد (جدول ۱) که مشابه به برخی دیگر از کرومیتیت‌های انبانی دنیاست [۱۶، ۲۲، ۲۳]. از سوی دیگر در کرومیتیت‌های غنی از آلمینیوم، میانگین نسبت‌های Ir/Pd, Pt/Ru, Pt/Pd, IPGE/PPGE و Ru/Pt به ترتیب ۰/۹۰، ۸/۴۵ و ۲/۸۸ است. مقادیر Pd/Ir به عنوان شاخصی از تفکیک عناصر PGE در نظر گرفته می‌شود [۲]. بر این اساس، مقدار تفکیک PGE در کرومیتیت‌های غنی از آلمینیوم سبزوار به مراتب کمتر از انواع غنی از کروم بوده و الگوی عناصر PGE بهنجارشده نسبت به کندریت در این کرومیتیت‌ها مشابه ماقمایی تولئیتی است، زیرا در جایگاه‌های زیر پشت‌های میان اقیانوسی به دلیل تحرك محدود Cr و PGE، این عناصر طی ذوب‌بخشی در گوشته

درجه پایین (در مقایسه با ماگمای بونینیتی) ایجاد می‌شوند. ذوب‌بخشی درجه پایین برای خروج همه سولفیدهای گوشه‌ای کافی نیست و بنابراین مذاب‌های ایجاد شده مقادیر کمتری PGE خواهند داشت [۲۲، ۱۴، ۱۶]. مقدار پایین PGE و غنی‌شدنگی نسبی عناصر HFSE و REE (شکل‌های ۳، ۵) در کرومیتیت‌های سرشار از Al در افیولیت‌های سبزوار ماهیت اشباع از S ماگمای اولیه و تشکیل آنها در نتیجه ذوب‌بخشی درجه پایین را تائید می‌کند [۲۳، ۱۳].

پژوهش‌های اخیر بر پهنه افیولیتی سبزوار بر وجود دو محیط زمین‌ساختی ماگمایی طی تشکیل این مجموعه افیولیتی در کرتاسه پسین تأکید دارند، اما تفسیرهای ارائه شده در این مورد متفاوت است. خلعتبری و همکاران [۸] با استفاده از بررسی توالی سنگ‌های خروجی افیولیت سبزوار تبدیل محیط زمین‌ساختی ماگمایی از یک حوضه کمانی حاشیه‌ای به یک حوضه پشت کمانی را پیشنهاد داده‌اند. در حالی که شفایی مقدم و همکاران [۶] با بررسی ترکیب کانی‌ها (پیروکسن و کرومیت) در سه مقطع از پریدوتیت‌های افیولیت سبزوار و با توجه به روابط صحرایی بین سنگ‌های میزبان، فرضیه دیگری را مطرح کرده‌اند: نخست مذاب‌های شبه MORB (باالت‌های پیش قوس) شکل‌گیری شده و باعث تشکیل کرومیتیت‌های فقیر از کروم و ایجاد کلینوپیروکسن-پلازیوکلاز شده‌اند. پس از آن با افزایش مقدار سیال‌های برآمده از ورقه فرورونده، مذاب‌های کمانی یا بونینیتی شکل گرفته و به نوبه خود دونیت‌ها و کرومیتیت‌های غنی از کروم را تشکیل داده‌اند. نتایج این پژوهش نیز نقش دو نوع ماگمای مختلف بونینیتی و تولیتی در شکل‌گیری کرومیتیت‌ها و سنگ‌های فرامافیک افیولیت سبزوار را تأیید می‌کند. از این‌رو، امکان وجود حوضه‌های پیش کمانی یا پشت کمانی طی تشکیل افیولیت سبزوار وجود دارد. البته داده‌های این پژوهش نشان می‌دهد که مستندات اشاره شده در بررسی شفایی مقدم و همکاران [۶] برای همه افیولیت‌های سبزوار صدق نمی‌کند. برخلاف فرضیه ایشان، کرومیتیت‌های فقیر از کروم (غنی از آلومینیوم) تنها منحصر به سنگ میزبان لرزولیت غنی از پلازیوکلاز نیستند چراکه نمونه CS1 با یک سنگ میزبان دونیتی، یک کرومیت غنی از

براساس این رابطه، مقدار ذوب‌بخشی محاسبه شده در کرومیتیت‌های غنی از کروم بین ۱۷/۷ تا ۲۲/۲ درصد تغییر می‌کند، در حالیکه این مقدار برای کرومیتیت‌های غنی از آلومینیوم ۱۵/۵ - ۱۶/۱ درصد است. بنابراین کرومیتیت‌های غنی از کروم در درجه‌های ذوب بالاتری نسبت به نمونه‌های غنی از آلومینیوم تشکیل شده‌اند.

در سنگ‌های گوشه‌ای بالایی، کانی‌های سولفیدی فلزات پایه، میزبان اصلی عناصر PPGE یعنی Pt و Pd هستند [۲۷]. در درجه‌های ذوب‌بخشی بالا (تولید ماگمای بونینیتی)، Pd از ماگماهای اشباع از S خارج می‌شوند و یک بازمانده گوشه‌ای به شدت تهی شده از این عناصر باقی می‌ماند [۵]. تهی‌شدگی شدید کرومیتیت‌های غنی از کروم سبزوار نشان می‌دهد که درجه بالای ذوب‌بخشی یا ذوب‌بخشی یک پریدوتیت گوشه‌ای تهی شده (ذوب مرحله دوم)، عامل تشکیل آنها بوده است [۱۸]. از آنجا که انباسته‌های سولفیدی در پریدوتیت‌های میزبان دیده نمی‌شود، واکنش متقابل سنگ، مذاب می‌تواند منجر به تهی‌شدگی Pd و Pt در کرومیتیت‌های غنی از کروم سبزوار شده باشد [۲۲]. افزایش تراکم عناصر IPGE با نسبت پایین Pd/Ir در کرومیت‌های با Cr بالا در سبزوار، نیازمند درجه ذوب‌بخشی بالای گوشه همراه با نفوذ مذاب غنی از سیال است. اسپینل‌های با Mg بالا در جایگاه SSZ هستند (شکل ۶ ب). ذوب‌بخشی درجه بالا معمولاً موجب غنی شدگی ماگما از عناصر دیرگداز چون Ni، Co، Cr و PGE می‌شود [۲۸]. این ویژگی‌ها در کرومیت‌های غنی از کروم سبزوار دیده می‌شود (شکل‌های ۳، ۴).

ذوب‌بخشی گوشه‌ای اولیه می‌تواند هم مذاب‌های اشباع از گوگرد و هم مذاب‌های اشباع از آن را تشکیل دهد. اگر مذاب‌ها اشباع از S باشند، با کاهش دما و فشار، مایعات سیال حل ناپذیر سولفیدی از مذاب اولیه جدا شده و در گوشه بازمانده باقی می‌مانند. این امر به علت ماهیت آهن دوست عناصر PGE، موجب تهی‌شدن مذاب از PGE می‌شود. مذاب‌های بازالتی تشکیل شده در زیر مناطق در حال گسترش (پشت‌های میان اقیانوسی یا حوضه‌های پشت کمانی) بوسیله ذوب‌بخشی

شده‌اند. بین نوع پریدوتیت میزبان و مقدار کروم در کرومیتیت‌های سبزوار ارتباط مشخصی دیده نمی‌شود و برای تعیین تقدم تشکیل محیط‌های کمانی و کششی و تفسیر زمین دینامیک ناحیه‌ای، سایر عوامل زمین شناسی را نیز باید در نظر گرفت.

#### قدردانی

بخشی از هزینه‌های این پژوهش از طریق پژوهانه دانشگاه پیام نور تأمین شده است. که بدینوسیله از مساعدت معاونت پژوهشی دانشگاه قدردانی می‌شود. متن اولیه این مقاله توسط سه داور محترم مجله با دقت مورد بررسی قرار گرفت و پیشنهادهای ارزنده‌ای از جانب آنها برای بهبود کیفیت متن نهایی ارائه گردید که از این بزرگواران تقدیر می‌شود.

#### مراجع

- [1] Garuti G., Fershtater G., Bea F., Montero P., Pushkarev E.V., Zaccarini F., "Platinum group elements as petrological indicators in mafic-ultramafic complexes of the central and southern Urals: preliminary results", *Tectonophysics* 276 (1997) 181–194.
- [2] Naldrett A.J., Hoffman E.L., Green A.H., Chou C.L., Naldrett S.R., Alcock R.A., "The composition of Ni-sulfide ores, with particular reference to their content of PGE and Au", *Canadian Mineralogist* 17 (1979) 403–415.
- [3] Barnes S.J., Fiorentini M.L., "Iridium, ruthenium and rhodium in komatiites: evidence for iridium alloy saturation", *Chemical Geology* 257 (2008) 44–58.
- [4] Locmelis M., Pearson N.J., Barnes S.J., Fiorentini M.L., "Ruthenium in komatiitic chromite", *Geochimical et Cosmochimical Acta* 75 (2011) 3645–3661.
- [5] Zhou M.F., Sun M., Keays R.R., Kerrich R.W., "Controls on platinum-group elemental distributions of podiform chromitites: a case study of high-Cr and high-Al chromitites from Chinese orogenic belts", *Geochimica et Cosmochimica Acta* 62 (1998) 677–688.
- [6] Shafaii Moghadam. H., Zaki Khedr. M., Arai. S., Stern.R.S., Ghorbani. G., Tamura. A., Ottley.C., "Arc-related harzburgite-dunite-chromitite complexes in the mantle section of the Sabzevar ophiolite, Iran: A model for formation of

آلومینیوم است (جدول ۱). از سوی دیگر، نمونه CS5 که یک کرومیتیت غنی از کروم است، از یک سنگ میزبان لرزولیتی برداشت شده است. افزون بر این، روابط صحرایی (قطع شدگی) بیان شده در مورد کرومیتیتها و سنگ‌های میزبان در همه پریدوتیتهای سبزوار مشابه سه مقطع بررسی شده در مرجع [۶] نیستند. بنابراین، تنوع ترکیبی و توزیع کرومیتیتهای سبزوار با وجود تأکید بر حضور محیط کمانی و کششی طی تشکیل افیولیت سبزوار، به تنها‌ی برای تعیین محیط زمین ساختی ماگمایی این پهنه کافی نیست و بررسی سایر عوامل (توالی سنگ‌های آتش‌شانی یا سن سنگ‌های میزبان) ضروری است.

#### برداشت

براساس داده‌های تجزیه نقطه‌ای بلورهای کرومیت و شیمی سنگ کل کرومیتیتها، در پهنه افیولیتی سبزوار دو نوع کرومیتیت غنی از کروم و غنی از آلومینیوم قابل شناسایی است. کرومیتیتهای غنی از کروم که فراوان‌تر هستند، مقدار (Zn, Co, Ag, Ni, Cu, As, Cr#) و فلزات سنگین (S, Y, Ga, P, Ti, HFSE) بیشتری نسبت به گروه دوم دارند. در حالی که در کرومیتی‌های غنی از آلومینیوم، مقدار REE و (Nb, Hf, Zr, Th) بیشتر است. ترکیب بلورهای کرومیت نشان می‌دهد که اغلب کرومیتیتهای غنی از کروم از ماگمای بونینیتی شکل گرفته‌اند، در حالیکه ماگمای تولئیتی شبیه MORB نقش اصلی را در تولید کرومیتیتهای غنی از آلومینیوم داشته است. فراوانی عناصر PGE در کرومیتیتهای سرشار از کروم به نسبت بیشتر از نمونه‌های غنی از آلومینیوم است. الگوی توزیع PGE و نسبت بین عناصر مختلف این گروه از عناصر اشاره به ماهیت متفاوت ماگمای تشکیل دهنده دو گروه کرومیتیهای سبزوار دارد که با نتایج تجزیه نقطه‌ای کرومیت‌ها همخوانی دارد. کرومیتیتهای غنی از کروم از ذوب‌بخشی درجه بالا (مذاب بونینیتی) و در شرایط اشباع از گوگرد، در یک محیط کمانی (SSZ) شکل گرفته‌اند. از سوی دیگر، نمونه‌های غنی از آلومینیوم از ذوب‌بخشی درجه پایین (مذاب تولئیتی) در شرایط اشباع از گوگرد و در یک محیط کششی (پشت‌های میان اقیانوسی یا حوضه‌های پشت کمانی) تشکیل

- element (PGE, REE) and isotope data”, Mineralium Deposita 34 (1999) 250–272.
- [16] Uysal I., Tarkian M., Sadiklar M.B., Zaccarini F., Meisel T., Garuti G., Heidrich S., “Petrology of Al- and Cr-rich ophiolitic chromitites from the Muğla, SW Turkey: implications from composition of chromite, solid inclusions of platinum-group mineral, silicate, and base-metal mineral, and Os-isotope geochemistry”, Contributions to Mineralogy and Petrology 158 (2009) 659–674.
- [17] Ismail S.A., Kettanah, Y.A., Chalabi S.N., Ahmed A.H., Arai S., “Petrogenesis and PGE distribution in the Al- and Cr-rich chromitites of the Qalander ophiolite, northeastern Iraq: Implications for the tectonic environment of the Iraqi Zagros Suture Zone”, Lithos 202–203 (2014) 21–36.
- [18] Najafzadeh A.R., “Ahmadipour H., Using platinum-group elements and Au geochemistry to constrain the genesis of podiform chromitites and associated peridotites from the Soghan mafic-ultramafic complex, Kerman, Southeastern Iran”, Ore Geology Reviews 60 (2014) 60–75.
- [19] Xiong F., Yang J., Robinson P.T., Xu X., Liu Z., Zhou W., Feng G., Xu J., Li J., Niu X., “High-Al and high-Cr podiform chromitites from the western Yarlung-Zangbo suture zone, Tibet: Implications from mineralogy and geochemistry of chromian spinel, and platinum-group elements”, Ore Geology Reviews 80 (2017) 1020–1041.
- [20] Orberger B., Lorandb J.P., Girardeau J., Merciera J.C.C., Pitragool S., “Petrogenesis of ultramafic rocks and associated chromitites in the Nan Uttaradit ophiolite”, Northern Thailand. Lithos 35 (1995) 153–182.
- [21] Bacuta G.K., Kay R.W., Gibbs A.K., Lipin B.R., “Platinum-group elements abundance in chromite deposits of the Acoje ophiolite block, Zambales ophiolite complex, Philippines”, Journal of Geochemical Exploration 37 (1990) 113–145.
- [22] Ahmed A.H., Arai S., “Unexpectedly high-PGE chromitite from the deeper mantle section of the northern Oman ophiolite and its tectonic implications”, Contributions to Mineralogy and Petrology 143 (2002) 263–278.
- [23] Uysal I., Tarkian M., Sadiklar B.M., Sen C. “Platinum-group-element geochemistry and mineralogy of ophiolitic chromitites from the Cop podiform chromitites”, Gondwana Research 27 (2015) 575–593.
- [7] Shirzadi A.R., Masoudi F., Rahimzadeh B., “Nature of Chromite parent magma In Sabzevar ophiolite (North-East of Iran)”, Iranian Journal of Crystallography and Mineralogy, 21 (2013) 49–58.
- [8] Khalatbari Jafari M., Babaie H.A., Gani, M., “Geochemical evidence for Late Cretaceous marginal arc-to-backarc transition in the Sabzevar ophiolitic extrusive sequence, northeast Iran”, Journal of Asian Earth Sciences, 70-71 (2013) 209–230.
- [9] Mazhari S.A., “The investigation of trace elements composition and role in the Magnetiteore genesis of Namen pluton, West of Sabzevar by LA-ICP-MS”, Iranian Journal of Crystallography and Mineralogy, 25 (2017) 739–748.
- [10] Nasrabadi M., Moeinvaziri H., Razavi M.H., Mohajjal M., “Mineralogical paragenesis changes of NW granulites of Sabzevar during metamorphic evolutions”, Iranian Journal of Crystallography and Mineralogy, 18 (2009) 531–544.
- [11] Mazhari S.A., Mojtabedifar V., Jafarian A., “Geochemistry, petrogenesis and mineralization of Namen plutonic rocks, SW of Sabzevar zone”, Iranian Journal of Crystallography and Mineralogy, 23 (2015) 517–532.
- [12] Mazhari S.A., “Petrogenesis of adakite and high-Nb basalt association in the SW of Sabzevar Zone, NE of Iran: Evidence for slab melt-mantle interaction”, Journal of African Earth Sciences, 116 (2016) 170–181.
- [13] Rollinson H., “The geochemistry of mantle chromitites from the northern part of the Oman ophiolite: inferred parental melt compositions”, Contribution to Mineralogy and Petrology 156 (2008) 273–288.
- [14] González-Jiménez J.M., Proenza J.A., Gervilla F., Melgarejo J.C., Blanco-Moreno J.A., Ruiz- Sánchez R., et al., “High-Cr and high-Al chromitites from the Sagua de Tánamo district, Mayari-Cristal ophiolitic massif (eastern Cuba): constraints on their origin from mineralogy and geochemistry of chromian spinel and platinum-group elements” Lithos 125 (2011) 101–121.
- [15] Melcher F., Grum W., Thalhammer T.V., Thalhammer O.A.R., “The giant chromite deposits at Kempirsai, Urals: constraints from trace

- [27] Luguet A., Lorand J.P., Seyler M., "Sulfide petrology and highly siderophile element geochemistry of abyssal peridotites: a coupled study of samples from the Kane Fracture Zone ( $45^{\circ}W$   $23^{\circ}20'N$ , MARK area, Atlantic Ocean)", *Geochimica et Cosmochimica Acta* 67 (2003) 1553–1570.
- [28] Pearce J.A., Van De Lann S.R., Arculus R.J., Murton B.J., Ishii T., Peate D.W., et al., "Boninite and harzburgite from leg 125 (Bonin–Mariana forearc): a case study of magma genesis during the initial stage of subduction. In: Fryer, P., Pearce, J.A., Stokking, L.B. (Eds.)", *Proceedings of Ocean Drilling Program Leg 125 Bonin/Mariana region* (1992) 623–656.
- Mountains northeastern Turkey", The Canadian Mineralogist* 45 (2007) 355–377.
- [24] Prichard H.M., Neary C.R., Fisher F.C., O'Hara M.J., "PGE-rich podiform chromitites in the Al'Ays ophiolite complex, Saudi Arabia: an example of critical mantle melting to extract and concentrate PGE", *Economic Geology* 103 (2008) 1507–1529.
- [25] Dilek Y., Rassios A.H.E., Furnes H., Shallo M., "Mesozoic–Cenozoic tectonics and Tethyan evolution of the western Balkan Peninsula: an ophiolite perspective", *Geophysical Research Abstracts* 9 (2007) 9–27.
- [26] Hellebrand E., Snow J.E., Dick H.J.B., Hofmann A.W., "Coupled major and trace elements as indicators of the extent of melting in mid-ocean-ridge peridotites", *Nature* 410 (2001) 677–681.